

Запорожская государственная инженерная академия

РЕШЕНИЕ ЗАДАЧИ РАСПРЕДЕЛЕНИЯ ТЕМПЕРАТУРЫ В ЕДИНИЧНОМ ОБЪЕМЕ АГЛОМЕРАЦИОННОГО СЛОЯ МЕТОДОМ КОНЕЧНЫХ ЭЛЕМЕНТОВ С УЧЕТОМ ВНУТРЕННИХ ИСТОЧНИКОВ ТЕПЛА

Введение. Текущий уровень развития вычислительной техники дает возможность исследователю решать с помощью ЭВМ прикладные задачи широкого класса. Не смотря на то, что эксперимент по-прежнему является решающим критерием правильности того или иного конструкторского решения, возможности анализа физических процессов путем использования численных методов, предоставляемые современными программными продуктами, таковы, что позволяет получать решения с высокой степенью согласуемости с экспериментальными данными.

К числу эффективных методов решения задач математической физики относится метод конечных элементов (МКЭ). За счет своих особенностей (однородности формы конечных элементов, большого числа нулевых элементов глобальной матрицы и др.) данный метод является легко реализуемым на ЭВМ. В настоящий момент абсолютное большинство программных пакетов, предлагаемых различными разработчиками специализированного программного обеспечения для инженерных расчетов, в том числе и широко известный пакет Ansys, в качестве математического аппарата использует именно МКЭ [1].

Постановка задачи. На базе МКЭ описать математическую модель в трехмерной постановке с целью нахождения распределения температуры в единичном конечном элементе агломерируемого слоя. Провести сравнение результатов расчета температуры по представленной в работе методике и посредством вычисления в программном продукте Ansys с целью подтверждения правильности математического описания процесса.

Результаты работы. В данной работе рассматривается задача о нахождении распределения температуры в единичном, конечном элементе слоя агломерата. Схематически срез спекаемого агломерационного слоя на паллете агломашины представлен на рис.1.

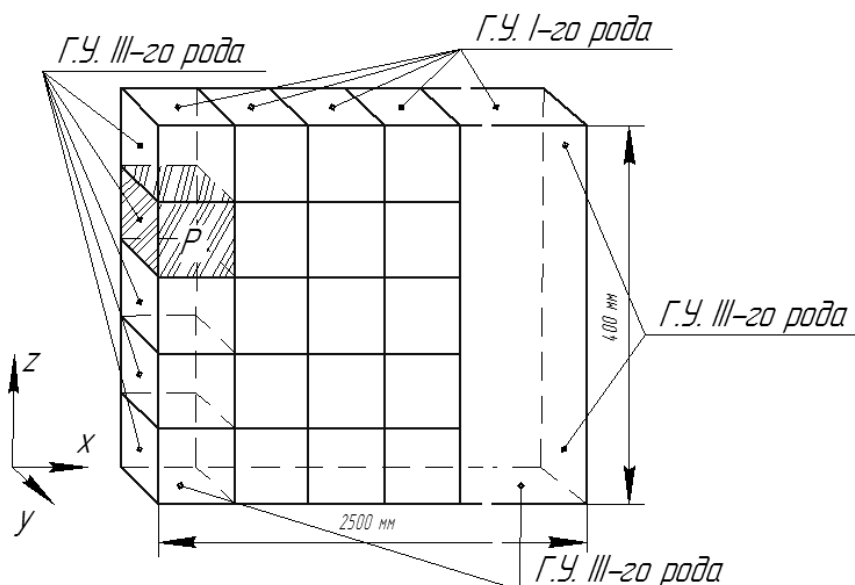


Рисунок 1 – Схема разбиения агломерируемого слоя шихты

Сформулируем математическую постановку задачи теплопроводности. Имеем слой материала заданной плотности, разбитый по ширине и высоте на единичные объемы (области), сверху действует источник постоянной температуры, по бокам и внизу слой контактирует с внешней средой посредством конвективного теплообмена. Объемная плотность распределения внутренних источников тепла, представленных в виде распределенного в слое топлива, выражается как функция координат с распределением $Q(x, y, z)$.

Математическая постановка задачи включает уравнение теплопроводности с внутренними источниками тепла, начальные и граничные условия:

$$\rho c \frac{dT}{dt} = \lambda \frac{d^2T}{dx^2} + \lambda \frac{d^2T}{dy^2} + \lambda \frac{d^2T}{dz^2} + Q(x, y, z), \quad (1)$$

Н.У.: $t_0 = 0 T_i(x, y, z) = T_0,$

Г.У.: $z = z_0 T_i|_{\Gamma_1} = T_{зажиг}, t > 0,$

$$x = x_0 - \lambda \frac{dT_i}{dt}|_{\Gamma_2} = k_1 (T_i(x, y, z) - T_{o.c.}), t > 0,$$

$$x = x_n \lambda \frac{dT_i}{dt}|_{\Gamma_3} = k_2 (T_i(x, y, z) - T_{o.c.}), t > 0,$$

$$z = z_n - \lambda \frac{dT_i}{dt}|_{\Gamma_4} = k_3 (T_i(x, y, z) - T_{o.c.}), t > 0,$$

где T_i – температура в конечном объеме, °С; $T_{o.c.}$ – температура окружающей среды, °С; $T_{зажиг}$ – температура зажигания, °С; k – коэффициент теплообмена, Вт/(м²·°С); λ – коэффициент теплопроводности, Вт/(м·°С); ρ – плотность материала, кг/м³; c – удельная теплоемкость Дж/(кг·°С); Q – мощность внутренних источников Вт/м³; t – время, с.

Для аппроксимации функции T в нумерованных узлах области P с границами $\Gamma_1, \Gamma_2, \Gamma_3, \Gamma_4$ выберем систему базисных функций $N_m, m = \overline{1, M}$, с помощью которых построим приближенное решение:

$$\bar{T} \approx \sum_{m=1}^M T_m N_m. \quad (2)$$

В трехмерном случае в качестве конечных элементов можно использовать тетраэдры (рис.2) с нумерованными узлами в вершинах i, j, k, l . Если расчетная область разбита на тетраэдры, то базисные функции, ассоциируемые с каждым нумерованным узлом конечного элемента P^s , формируются в виде линейных функций переменных x, y, z .

Для узла i базисная функция примет вид:

$$N_i^s(x, y, z) = a_i^s + b_i^s x + c_i^s y + d_i^s z.$$

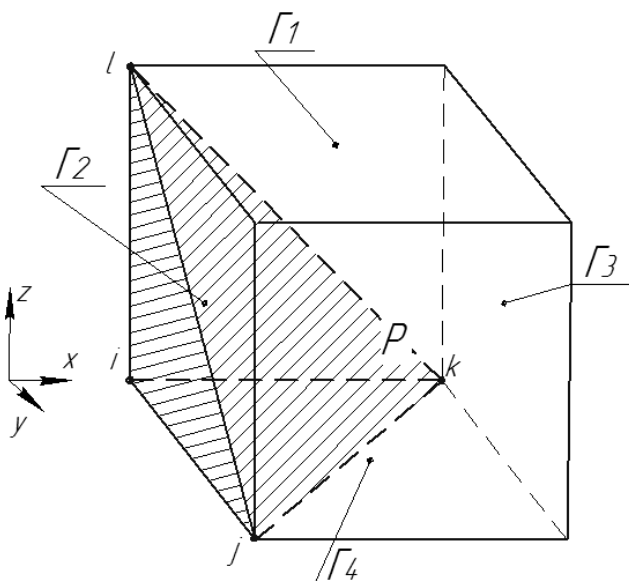


Рисунок 2 – Разбивка единичной, расчетной области на конечные элементы

Базисные функции в узлах j, k, l определяются аналогично [2-4, 7, 8]. Таким образом формируется система линейных, алгебраических уравнений для определения коэффициентов $a_i^g, b_i^g, c_i^g, d_i^g$ базисных функций $N_i^g(x, y, z)$:

$$a_i^g = \frac{\Delta_a^g}{6V^g}; b_i^g = \frac{\Delta_b^g}{6V^g}; c_i^g = \frac{\Delta_c^g}{6V^g}; d_i^g = \frac{\Delta_d^g}{6V^g},$$

где V^g – объем конечного элемента (тетраэдра), м³.

$$V^g = \frac{1}{6} \begin{bmatrix} 1 & x_i & y_i & z_i \\ 1 & x_j & y_j & z_j \\ 1 & x_k & y_k & z_k \\ 1 & x_l & y_l & z_l \end{bmatrix}; \Delta_a^g = \begin{bmatrix} x_j & y_j & z_j \\ x_k & y_k & z_k \\ x_l & y_l & z_l \end{bmatrix};$$

$$b_i^g = - \begin{bmatrix} 1 & y_j & z_j \\ 1 & y_k & z_k \\ 1 & y_l & z_l \end{bmatrix}; c_i^g = - \begin{bmatrix} 1 & x_j & z_j \\ 1 & x_k & z_k \\ 1 & x_l & z_l \end{bmatrix}; d_i^g = - \begin{bmatrix} 1 & x_j & z_j \\ 1 & x_k & z_k \\ 1 & x_l & z_l \end{bmatrix}.$$

Вектор базисных функций для элемента задается как $N = [N_i, N_j, N_k, N_l]$. Если узловые значения искомой функции $T_m, m = i, j, k, l$ станут известными, то значения функции $T(x, y, z)$ во внутренних точках элемента P^g определяются с помощью функции элемента:

$$\bar{T}^g = T_i^g N_i^g + T_j^g N_j^g + T_k^g N_k^g + T_l^g N_l^g. \quad (3)$$

Если подставить приближенное решение (3) в (2), то результатом будет не тождественный ноль, а некоторая функциональная невязка $G_P(x, y, z)$ по расчетной области P и невязка $G_L(x, y, z)$ по границе Γ .

$$G_P(x, y, z) = \rho c \frac{d\bar{T}}{dt} - \lambda \left(\frac{d^2 \bar{T}}{dx^2} + \frac{d^2 \bar{T}}{dy^2} + \frac{d^2 \bar{T}}{dz^2} \right) - Q(x, y, z)$$

$$G_L(x, y, z) = \lambda \frac{d\bar{T}}{dn} \Big|_{\Gamma}. \quad (4)$$

Согласно метода взвешенных невязок [5] необходимо обеспечение ортогональности функциональных невязок и специальным образом подобранных весовых функций $W_S(x, y, z), S = \overline{1, M}$ для невязки $G_P(x, y, z)$ и $\bar{W}_S(x, y, z), S = \overline{1, M}$ – для невязки $G_L(x, y, z)$. Для непрерывных функций $G_P(x, y, z)$ и $G_L(x, y, z)$ это означает равенство нулю суммы тройного и криволинейного интегралов соответственно по области и границе:

$$(G_P, W_S) + (G_L, \bar{W}_S) = \iiint_P \left[\rho c \frac{d\bar{T}}{dt} - \lambda \left(\frac{d^2 \bar{T}}{dx^2} + \frac{d^2 \bar{T}}{dy^2} + \frac{d^2 \bar{T}}{dz^2} \right) - Q(x, y, z) \right].$$

$$\cdot W_s(x, y, z) dx dy dz + \int_L \left[\lambda \frac{d\bar{T}}{dn} \Big|_r \right] \bar{W}_s d\Gamma = 0 \quad S = \overline{1, M}, \quad (5)$$

где $W_s(x, y, z)$ – весовые функции для внутренних узлов расчетной области $S = \overline{1, M}$,

$\bar{W}_s(x, y, z)$ – весовые функции для граничных узлов расчетной области.

В соответствии с методом Галеркина взвешенных невязок весовые функции равны базисным: $W_s = N_s$, $\bar{W}_s = \bar{N}_s$. Таким образом, подставляя (5) в (2) и применяя к полученному выражению формулу Грина, получаем формулировку конечно-элементного метода Галеркина:

$$\sum_{m=1}^M T_m \left[\int_V \rho c \frac{d\bar{T}}{dt} N_s N_m dV + \int_V \left(\frac{dN_s}{dx} \left(\lambda \frac{dN_m}{dx} \right) + \frac{dN_s}{dy} \left(\lambda \frac{dN_m}{dy} \right) + \frac{dN_s}{dz} \left(\lambda \frac{dN_m}{dz} \right) \right) dV \right] = \int_V Q(x, y, z) N_s dV, \quad S = \overline{1, M}. \quad (6)$$

Система (6) является неоднородной системой линейных алгебраических уравнений (СЛАУ), которую можно представить в матричной форме:

$$[R][T] = [F], \quad (7)$$

где R – глобальная матрица теплопроводности,

T – вектор-столбец, состоящий из температур в узлах элементов,

F – глобальный вектор тепловой нагрузки.

Для конечного элемента g система уравнений МКЭ запишется в виде:

$$[r^g][t^g] = [\varphi^g], \quad (8)$$

где $r^g = \begin{bmatrix} r_{ii} & r_{ij} & r_{ik} & r_{il} \\ r_{ji} & r_{jj} & r_{jk} & r_{jl} \\ r_{ki} & r_{kj} & r_{kk} & r_{kl} \\ r_{li} & r_{lj} & r_{lk} & r_{ll} \end{bmatrix}$ – локальная матрица теплопроводности;

$\varphi^g = \begin{bmatrix} \varphi_i \\ \varphi_j \\ \varphi_k \\ \varphi_l \end{bmatrix}$ – локальный вектор тепловой нагрузки.

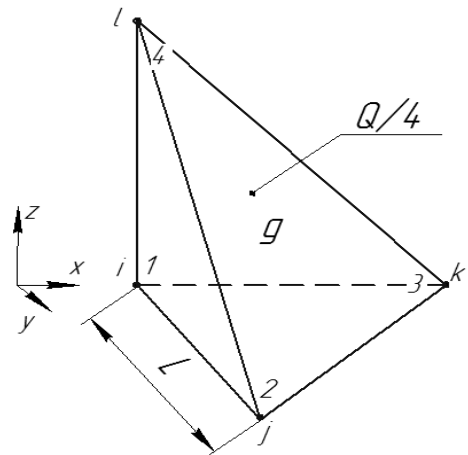


Рисунок 3 – Конечный элемент g тетраэдральной формы

Рассмотрим случай для конечного элемента g , представленного тетраэдром (рис.3), когда на всех гранях присутствует конвективный теплообмен и объемное тепловыделение.

Локальный вектор тепловой нагрузки в случае, когда на всех гранях элемента g приложен конвективный теплообмен и присутствуют внутренние источники тепла, запишется в виде:

$$\begin{aligned} \varphi^g = & \frac{Q}{4} \begin{bmatrix} 1 \\ 1 \\ 1 \\ 1 \end{bmatrix} + \frac{T_{ij}\alpha_{ij}L_{ij}}{2} \begin{bmatrix} 1 \\ 0 \\ 0 \\ 0 \end{bmatrix} + \frac{T_{ik}\alpha_{ik}L_{ik}}{2} \begin{bmatrix} 1 \\ 0 \\ 1 \\ 0 \end{bmatrix} + \frac{T_{il}\alpha_{il}L_{il}}{2} \begin{bmatrix} 1 \\ 0 \\ 0 \\ 1 \end{bmatrix} + \\ & + \frac{T_{jk}\alpha_{jk}L_{jk}}{2} \begin{bmatrix} 0 \\ 1 \\ 1 \\ 0 \end{bmatrix} + \frac{T_{kl}\alpha_{kl}L_{kl}}{2} \begin{bmatrix} 0 \\ 0 \\ 1 \\ 1 \end{bmatrix} + \frac{T_{li}\alpha_{li}L_{li}}{2} \begin{bmatrix} 0 \\ 1 \\ 0 \\ 1 \end{bmatrix}. \end{aligned} \quad (9)$$

Локальную матрицу теплопроводности для конечного элемента g при наличии на каждой грани конвективного теплообмена запишем следующим образом:

$$\begin{aligned} r^g = & \lambda_x V^g \begin{bmatrix} a_{ii} & a_{ji} & a_{ki} & a_{li} \\ a_{ij} & a_{jj} & a_{kj} & a_{lj} \\ a_{ik} & a_{jk} & a_{kk} & a_{lk} \\ a_{il} & a_{jl} & a_{kl} & a_{ll} \end{bmatrix} + \lambda_y V^g \begin{bmatrix} b_{ii} & b_{ji} & b_{ki} & b_{li} \\ b_{ij} & b_{jj} & b_{kj} & b_{lj} \\ b_{ik} & b_{jk} & b_{kk} & b_{lk} \\ b_{il} & b_{jl} & b_{kl} & b_{ll} \end{bmatrix} + \lambda_z V^g \begin{bmatrix} c_{ii} & c_{ji} & c_{ki} & c_{li} \\ c_{ij} & c_{jj} & c_{kj} & c_{lj} \\ c_{ik} & c_{jk} & c_{kk} & c_{lk} \\ c_{il} & c_{jl} & c_{kl} & c_{ll} \end{bmatrix} + \\ & + \frac{\alpha_{ij}L_{ij}}{6} \begin{bmatrix} 2 & 1 & 0 & 0 \\ 1 & 2 & 0 & 0 \\ 0 & 0 & 0 & 0 \\ 0 & 0 & 0 & 0 \end{bmatrix} + \frac{\alpha_{ik}L_{ik}}{6} \begin{bmatrix} 2 & 0 & 1 & 0 \\ 0 & 0 & 0 & 0 \\ 1 & 0 & 2 & 0 \\ 0 & 0 & 0 & 0 \end{bmatrix} + \frac{\alpha_{il}L_{il}}{6} \begin{bmatrix} 2 & 0 & 0 & 1 \\ 0 & 0 & 0 & 0 \\ 0 & 0 & 0 & 0 \\ 1 & 0 & 0 & 2 \end{bmatrix} + \\ & + \frac{\alpha_{jk}L_{jk}}{6} \begin{bmatrix} 0 & 0 & 0 & 0 \\ 0 & 2 & 1 & 0 \\ 0 & 1 & 2 & 0 \\ 0 & 0 & 0 & 0 \end{bmatrix} + \frac{\alpha_{kl}L_{kl}}{6} \begin{bmatrix} 0 & 0 & 0 & 0 \\ 0 & 0 & 0 & 0 \\ 0 & 0 & 2 & 1 \\ 0 & 0 & 1 & 2 \end{bmatrix} + \frac{\alpha_{li}L_{li}}{6} \begin{bmatrix} 0 & 0 & 0 & 0 \\ 0 & 2 & 0 & 1 \\ 0 & 0 & 0 & 0 \\ 0 & 1 & 0 & 2 \end{bmatrix}. \end{aligned} \quad (10)$$

Значения температуры в узлах конечного элемента получим из выражения:

$$[t^g] = [r^g]^{-1} \cdot [\varphi^g]. \quad (11)$$

Для построения глобальных матриц R, T, F необходимо локальным номерам узлов i, j, k, l каждого элемента g поставить в соответствие глобальные номера узлов m , $m = \overline{1, M}$. Расширенные таким образом матрицы складываются, и в результате ансамблирования получаем глобальные матрицы. Поставляя последние в формулу (7), рассчитываем распределение температуры по узлам рассматриваемой области.

Выводы. Моделирование распределения температуры в единичном элементе проводилось в программном пакете Ansys при грубом качестве сетки и вручную с использованием программы MathLab для конечного элемента того же размера и с теми же граничными условиями. Рассчитанное значение температуры на поверхности элемента в пакете Ansys составило 366°C , расчет по вышеизложенной методике показал температуру в $366,8133^\circ\text{C}$, таким образом, ошибка расчета составила $\sigma = 0,22$. Приведенные данные численного моделирования показывают, что при решении методом МКЭ, используемого в том числе в качестве математического аппарата в системе Ansys, задач

конвективного теплообмена с заданными граничными условиями можно достигнуть хорошего соответствия численного и теоретического расчета.

Приведенная методика позволяет создать модель всего агломерируемого слоя с наложенными на него граничными условиями; зная распределение химических компонентов и внешних тепловых источников по высоте и ширине моделируемого слоя [10], можно рассчитать распределение температуры в агломерате. Кроме того, данная модель позволит оценить влияние сегрегации компонентов шихты на температурный режим процесса.

ЛИТЕРАТУРА

1. Конечно-элементное моделирование тепловых процессов в программной среде ANSYS: методические указания к лабораторной работе / сост. Трудоношин В.А., Носко А.П. – М.: МГТУ, 2005. – 54с.
2. Румянцев А.В. Метод конечных элементов в задачах теплопроводности: учеб. пос. / Калининград: Калинингр. ун-т, 1995. – 170с.
3. Метод конечных элементов: учеб. пос. для вузов / под ред. П.М.Варвака. – Киев: Вища школа. Головное изд-во, 1981. – 176с.
4. Применение метода конечных элементов в решении задач прикладной механики: учеб.-метод. пос. для студентов техн. специальностей / А.О.Шимановский, А.В.Пугято. – Гомель: БелГУТ, 2008. – 61с.
5. Патанкар С. Численные методы решения задач теплообмена и динамики жидкости / пер. с англ. под ред. В.Д.Виоленского. – М.: Энергоатомиздат, 1984. – 124с.
6. Свет Е.В. Нестационарная задача теплопроводности в трехмерной постановке для многослойных пластин сложной формы / Свет Е.В. // Вісник НТУ „ХПІ”. – 2013. – № 63 (1036). – С.122-131.
7. Введение в метод конечных элементов: методическое пособие / сост. Ю.А.Сагдеева и др. – Ижевск: Изд-во „Удмуртский ун-т”, 2011. – 44с.
8. Метод конечных элементов в нелинейных задачах инженерной механики / Клованич С.Ф. – Запорожье: Издательство журнала „Світ геотехніки”, 2009. – 400с.
9. А.А.Фефелов. Оценка квазисингулярных интегралов при численной реализации метода граничных элементов в трехмерных неосесметричных задачах теплопроводности / А.А.Фефелов // Вестник РГРТУ. – 2008. – Вып. 23. – С.41-46.
10. Мных А.С. Исследование химического состава фракций агломерационной шихты для условий комбината „Запорожсталь” / Мных А.С. // Теория и практика металлургии. – 2014. – №3-6. – С.35-38.

Поступила в редколлегию 03.09.2014.